

Determination of The Anti-Fungal Effort of *Morganella Morganii* and Determination of Its Chemical Composition by Means of Gas Chromatography Method - Mass Spectrometry Gas Chromatography-Mass Spectrometry

Sabreen Abdul Amir Kamal Al – Khafaji

Department of Biology, College of Science for Girls, University of Babylon, Iraq
Email:kamal_sabreen@yahoo.com

Abstract

The analysis of bioactive was done by used gas chromatography-mass spectroscopy(GC-MS) method then antifungal and antimicrobial activity for methanolic extract was measured in the lab. The analysis of *Morganella morganii* by GC-MS revealed the existence of the Tricyclo, 3-Methoxybenzaldehyde semicarbazone , undecan-1-amine, carboxaldehyde , 1-methyl-,oxime ,(Z)-(+), 4-(2,5-Dihydro-3-methoxyphenyl) butylamine , Paromomycin , 1,5,5-Trimethyl-6-methylene-cyclohexene, 9-Borabicyclo[3.3.1], Benzenemethanol , nonane , 9-mercaptop-2-(2-aminopropoxy)-3-methyl, Acetamide , N-(6-acetylaminobenzothiazol-2-yl)-2-(adamantan, rin-6-carboxylic acid , N-(2,5-Dicyano-3,4-dihydro-2H-pyrrol-2-yl)- acetamide, 3,10-Dioxatricyclo4-(2,5-Dihydro-3-methoxyphenyl)butylamine, [4.3.1.0(2,4)] phenylmethyl ester, 3,7-Diazabicyclo dec-7-ene, 3-Cyclohex-3-enyl-propionic acid, Eicosanoic acid [3.3.1] 9,9-dimethyl-, nonane ,Dithiocarbamate , dl-Homocysteine, 2-(2-Furyl)pyridine, S-methyl-,N-(2-methyl-3-oxobutyl)-, 1,7-Dioxa-10-thia-4,13-diazacyclopentadeca-5,9,12-trione, 5,7-Dodecadiyn-1,12-diol, 1-(β -d-Arabinofuranosyl)-4-O-difluoromethyluracil, Uric acid, Pyrrolo[1.2-a]pyrazine-1,4-dione , hexahydro-,12-Methyl-oxacyclododecan-2-one, Phthalic acid , butyl undecyl ester, 9,12,15-Octadecatrienoic acid , 2,3-bis(acetoxy)propyl ester, , methyl ester, 12-Dimethylamino-10-oxododecanoic acid , 1,2,4-Trioxolane-2-octanoic acid 5-octyl-, Octahydrochromen-2-one, L-Aspartic acid, N-glycyl-,2H-Oxecin-2-one , 3,4,7,8,91,10-hexahydro-4-hydroxy-10-meth Thiazolo[4,5-d]pyrimidine-5,7(4H,6H)-dione , 3,6,12-Trimethyl-1,4,7,10,13,16-hexaaza-cyclooctadecane, 2-lodo- α isostidine, 2-amino-4-(2-ph,Dec-9-en-6-oxo-1-ylamide,2,5-Piperazinedione,3,6-bis(2-ethylpropyl)-, 9-Octadecenamide , (Z)-, 3',8,8'-Trimethoxy-3-piperidyl-2,2'-binaphthalene-1,1',4,4'-tetra . *Citrullus colocynthis* (Crude) was very highly active (6.39 ± 0.27) mm anti-fungal activity of *Morganella morganii* showed that unstable compounds (volatile)were effective hight to decrease the growth of *Aspergillus terreus* (5.613 ± 0.23). the production of *Morganella morganii* give many essential secondary metabolites with a lot of biological activities. in pharmacy we depend on the significance of using bioactive compounds to made drugs for many diseases as for treatment, compounds purification of which produced by *Morganella morganii* will be benefit for use.

Keywords:secondary metabolites, GC – MS, Antibiotic activity.

تقدير الجهد ضد الفطريات لـ *Morganella morganii* وتحديد تركيبها الكيميائي بوساطة طريقة gas chromatography-mass spectrometry الكتلة

صابرين عبد الامير كمال الخفاجي

قسم علوم الحياة، كلية العلوم للبنات، جامعة بابل، العراق

kamal_sabreen@yahoo.com

الخلاصة

تم تحليل النواتج الحيوية الثانوية لبكتيريا *Morganella morganii* باستخدام تقنيات التحليل الطيفي الكتلي للغاز (GC-MS)، ثم تم تقييم نشاط هذه النواتج للبكتيريا المستخلصة بكحول الميثanol ضد الفطريات مقارنة مع بعض المضادات الحياتية. كشف تحليل GC-MS عن وجود *Morganella morganii* Tricyclo , 3-Methoxybenzaldehyde semicarbazone, undecan-1-amine, carboxaldehyde , 1-methyl-, oxime,(Z)-(+), 4-(2,5-Dihydro-3-methoxyphenyl) butylamine, Paromomycin, 1, 5, 5-Trimethyl-6-methylene-cyclohexene, 9-Borabicyclo [3. 31], Benzenemethanol , nonane , 9-mercaptop-2-(2-aminopropoxy)-3-methyl, Acetamide , N-(6-acetylaminobenzothiazol-2-yl)-2-(adamantan, rin-6-carboxylic acid , N-(2,5-Dicyano-3,4-dihydro-2H-pyrrol-2-yl)- acetamide , 3,10-Dioxatricyclo4-(2,5-Dihydro-3-methoxyphenyl)butylamine, [4.3.1.0(2,4)] phenylmethyl ester, 3,7-Diazabicyclo dec-7-ene, 3-Cyclohex-3-enyl-propionic acid, Eicosanoic acid [3.3.1] 9,9-dimethyl-, nonane ,Dithiocarbamate , dl-Homocysteine, 2-(2-Furyl)pyridine, S-methyl-,N-(2-methyl-3-oxobutyl)-, 1,7-Dioxa-10-thia-4,13-diazacyclopentadeca-5,9,12-trione, 5,7-Dodecadiyen-1,12-diol, 1-(β -d-Arabinofuranosyl)-4-O-difluoromethyluracil, Uric acid, Pyrrolo[1.2-al]pyrazine-1,4-dione, hexahydro-,12-Methyl-oxa-cyclododecan-2-one, Phthalic acid, butyl undecyl ester, 9,12,15-Octadecatrienoic acid,2,3-bis (acetyloxy) propyl ester , methyl ester, 12-Dimethylamino-10-oxododecanoic acid, 1, 2, 4-Trioxolane-2-octanoic acid 5-octyl-, Octahydrochromen-2-one, L-Aspartic acid, N-glycyl- ,2H-Oxecin -2-one,3,4,7,8,9,10-hexahydro-4-hydroxy-10-meth, Thiazolo [4, 5- d] pyrimidine- 5, 7 (4H,6H)- dione, 3, 6,12-Trimethyl-1, 4, 7, 10,13,16-hexaaza-cyclooctadecane, 2-lodothiostidine, 2-amino-4- (2-ph, Dec-9-en-6-oxo-1-ylamide, 2, 5-Piperazinedione, 3, 6-bis (2-methylpropyl)-, 9-Octadecenamide, (Z)-, 3',8,8'-Trimethoxy-3-piperidyl- 2,2'-binaphthalene-1,1',4,4'-tetra. كما استخدمت عدد من النباتات الطبيعية لمعرفة تأثيرها على نمو هذه البكتيريا . كان مستخلص الحنظل *Citrullus colocynthis* (الخام) نشط للغاية (6.39 ± 0.27 مل). وأظهرت نتائج النشاط المضاد للفطريات التي تتوجهها *Morganella morganii* أن المركبات المتطايرة كانت فعالة للغاية لقمع نمو الفطر *Aspergillus terreus* (5.613 ± 0.23). تنتج *Morganella morganii* العديد من نواتج الأيض الثانوية الهامة ذات الأنشطة البيولوجية العالية. من هذه البحث تتبين أهمية هذه البكتيريا في إنتاج العديد من المركبات الثانوية النشطة بابيوجيا في الصناعات الصيدلانية لإنتاج الأدوية لعلاج العديد من الأمراض، وأهمية تقييم هذه المركبات وعزل وتنقية هذه البكتيريا.

الكلمات المفتاحية: الفعالities المضادة للفطريات والحياة المجهرية, GC-MS, الايض الثانوي, بكتيريا *Morganella*.

المقدمة

كانت هذه البكتيريا معروفة باسم عصبة مورغان ، ثم صنفت في وقت لاحق على أنها عصبة *Morganella* [1][2][3]. وهي متحركة، غير مخمرة للاكتوز وهي من البكتيريا سالبة الجرام، التي تشارك مع بكتيريا *Proteus* القدرة على إنتاج الـ urease ووجود urease *Morganella morganii* [4][5][6]. أنواع deaminase phenyl alanine هي من المسببات النادرة للمرض في الأفراد الأصحاء. أما العدوى السريرية بسبب *M.morganii* غالباً ما تتطوّي على المسالك البولية والجلد والأنسجة الرخوة والمسالك الكبدية [7][8]. وبعد التهاب المسالك البولية هو موقع العدوى السريرية الأكثر شيوعا، في معظم الأحيان تحدث هذه العدوى في المرضى المسنين في دور رعاية المسنين مع

القسطرة الطويلة الأجل [9]. حيث ان *Morganella* هو المسبب الرئيسي الخامس لالتهابات المسالك البولية في المرضى المقيمين في دور رعاية المسنين [10] [11]. عادة ما تسبب *Morganella* التهابات الجلد والأنسجة الرخوة، حيث أفادت فالاجاس أن ١٣ مريضا (٥٤٪) عانوا من التهابات الجلد والأنسجة الرخوة في فترة ٤ سنوات في مستشفى اليونان [12].

كان يعتقد بان *Morganella morganii* هي المسبب للإسهال الصيفي . تم عزل الكائن الحي جنبا إلى جنب مع *Proteus mirabilis* في كثير من اصابات المرضى الذين يعانون من الإسهال [13] . وقد تم الإبلاغ عن *Morganella* على أنها المسبب لما يصل إلى ٣٪ من الاصابات البكتيرية في دار رعاية المسنين ، والناجمة في المقام الأول عن المسالك البولية أو التهابات الأنسجة الرخوة . كما يمكن أن تسبب مورغانيلا أيضا الالتهابات داخل البطن [15] . بين Lee في تقريره خلال فترة سنة ان ٢٢٪ من حالات اصابات الكبد والصفراوية تشارک فيها هذه البكتيريا [16]. في دراسة اجرتها Kim من احدى وستين حالة ، وجد أن ٦٤٪ منها كانت مورغانيلا مورغانليا مرتبطة معها بالعدوى داخل البطن (شملت العدوى الصفراوية وخراب الكبد والتهاب الصفاق) [17] . يمكن تمييز هذه البكتيريا عن أنواع *Proteus* حيث انها تفتقر للحركة الحلزونية swarming motility او تسبييل الجيلاتين او انتاج H2S ، كما أن انواع المورغانيلا تخمر سكر المانوز وتفرز انزيم ornithine decarboxylase *Proteus* له [18]. ينبغي اختيار العلاج الأولى للمرضى الذين يعانون من تجرثم الدم المشتبه به بسبب مورغانيلا على أساس أنماط الحساسية المحلية ، وقد اقترح cephalosporin السيفالوسبيورين الجيل الثالث باعتباره الدواء الأفضل لالتهابات المورغانيلا [19] . وينبغي علاج التهاب المسالك البولية الذي تسببه مورغانيلا بواسطة quinolones الكينولونات عن طريق الفم مثل سيفروفلوكساسين.

المواد وطرق العمل : ظروف النمو وتحديد الأيض:

تم عزل سالة مورغانيلا مورغانليا من مرضى التهاب الشعب الهوائية من مستشفى الأطفال والولادة في بابل عن طريق زرع عينات البكتيريا على الاوساط الزرعية (blood agar , MacConkey agar , EMB , Tryptic soy) واستخدام الاختبارات الكيمويوية (agar Oxidase,Catalase,urease , Indole ,Voges Proskauer,Simmon) واصناف الأيض Citrate,Methyl red , produce acid from mannose . تم تنقية العزلات على الأجار المغذي لمدة ٤٨ ساعة، عند ٢٢ درجة مئوية . بعد تنقية العزلات تم تمييذتها في الوسط المغذي السائل لغرض الحصول على نواتج الأيض الثانوية لمدة ٤٨ ساعة ، تم تحضير الخليط عند ٤ ° م لمدة ١٠ دقائق ثم وضعه في الجهاز الهزاز لمدة ١٠ دقيقة عند ١٣٠ دورة في الدقيقة. تم فصل نواتج الأيض عن المزرعة السائلة وتم تخميرها لغاية الجفاف باستخدام المبخر الدوار في ٤٥ درجة مئوية . جمع الناتج المجفف المتبقى وتمت اذابته في ١ مل من كحول الميثanol، وتمت تصفيته من خلال مرشح (٠.٢ ميكرون) ، وحفظت بدرجة ٤ ° م لمدة ٢٤ ساعة قبل استخدامها بتقنية ال GC-MS [20] [21] [22] [23] [24]. اعتمد تحديد المكونات على المقارنة بين أطياف الكتلة للمركبات مع المكتبة الطيفية للكتلة نيسن NIST وكذلك مقارنة هذه المكونات مع القيم البحثية الموثقة . تم عزل الفطريات التي تمت دراستها وهي، *Microsporum canis*, *Candida albicans*, *Saccharomyces cerevisiae*, *Penicillium expansum*, *Trichoderma viride*, *Trichoderma horzianum*, and *Aspergillus terreus* البطاطا والدكتوزر المائي. وتم الحصول على السبورات بتتميذتها في وسط اكار البطاطا السائل وتم حضنها عند ٢٥ °

م في الجهاز الهزاز لمدة ١٦ يوماً في ١٣٠ دورة في الدقيقة. تم إجراء الاستخلاص بإضافة ٢٥ مل من كحول الميثانول إلى ١٠٠ مل من المزرعة السائلة في دورق إرلنماير بعد ذلك تم ترشيحها [25].

جمع العينات النباتية وتحضيرها:

في هذه الدراسة ، تم تجفيف الأوراق النباتية لكل من (الدفلة، الكتان، عشبة كف مريم ، السنامكي، اليفربون ، اكليل الجبل ، النعناع ، السنديان (البلوط) ، الحنظل ، المسبحه الوردية ، الكزبرة ، نبات الحوك ، الرمان) في درجة حرارة الغرفة لمدة عشرة أيام ، وعندما جفت الأوراق بشكل كامل تم سحقها باستخدام الهاون والمدقّة وحوّلت إلى مسحوق ، تم غربلة مسحوق النبات باستخدام الغربال [26] . تمت تعبيء المسحوق الناعم في وعاء محكم لتجنب تأثير الرطوبة وخذن في درجة حرارة الغرفة .

التحليل الطيفي للمركبات الكيميائية الطبيعية النشطة بيولوجيًا من مورغانيلا مورغاني باستخدامة (ك غ / م ك) :
تم إجراء التحليل باستخدام ك غ / م ك (أجيلنت A ٧٨٩) مجهزة بمود 30 id DB-5MS م × ٠٠٢٥ م م سمك الفيلم كان ٠٠٢٥ م م (J&W Scientific, Folsom, CA) . تم برمجة درجة حرارة الفرن ، استخدام الهليوم كغاز ناقل بمعدل ١٠٠ مل / دقيقة . تم إدخال العينات السائلة من عمود النقل الكبير مباشرة إلى مصدر MS عبر خط النقل (٢٥٠ م°) . وكان جهد التأين ٧٠ فولت و درجة حرارة مصدر الأيون ٢٣٠ م° . كان نطاق المسح الضوئي ٤٠ - ٤٥ amu . تم تحديد المكونات بمقارنة أوقات الاحتفاظ بها مع العينات الأصلية من مكتبة ويلي ماس سبيكترال داتا بيس [27] [26] [23] [24] . WILEY MASS SPECTRAL DATA BASE Library

تحديد النشاط المضاد للبكتيريا والمضاد للفطريات:

تم عمل حفر قطرها خمسة مليمترات في الأجرار بالاطباق (الوسط المستخدم Muller Hinton Agar) باستخدام الثاقب الفليني المعقم، تم إضافة ٢٥ مل من عينات محلول نبات الدفلة *Nerium oleander* (قلويدات)، الكتان *Cassia Anastatica hierochuntica* (خام)، السنامكي *Linum usitatissimum* (خام)، اليفربون *Euphorbia lathyrus* (خام) ، اكليل الجبل *Rosmarinus officinalis* (خام)، الحنظل *Citrullus lanatus* (خام)، السنديان (البلوط) *Quercus infectoria* (خام)، النعناع *Mentha viridis* (خام)، المسبحه الوردية *Althaea rosea* (خام)، الكزبرة *Coriandrum sativum* (خام) ، نبات الحوك *colocynthis* (خام) ، والرمان *Punica granatum* (خام) و *Ocimum basilicum* (خام). تم حضن الاطباق لمدة ٤٨ ساعة في درجة حرارة الغرفة. تم تقدير النشاط المضاد للميكروبات من خلال قياس قطر منطقة التثبيط ضد الكائنات الحية الدقيقة تحت الاختبار. تستخدم محلول الميثانول كسيطرة للتجربة. تم استخدام الأمفورتيسين B والفلوكونازول كعامل مضادة للفطريات للمقارنة [29] [30] [31] [28] [32]. وأجريت كل الاختبارات في ثلاثة مكررات. تم تقدير النشاط المضاد للفطريات عن طريق قياس قطر منطقة التثبيط بعد ٤٨ ساعة من الحضانة.

تحليل البيانات احصائيًا:

تم اجراء كل تجربة بثلاث مكررات وعرضت النتائج كمتوسط \pm SD ومتوسط \pm SE . تم استخدام برنامج التحليل الاحصائي IBM SPSS الطبعة ٢٠ لتحليل نسبة التثبيط .

النتائج والمناقشة:

تم إجراء تحليل الكروماتوغرافيا الغازية وتحليل مطياف الكتلة للمركبات في المستخلص الميثانولي لمورغانيلا مورغاني، كما مبين في الجدول ١. كما تم عرض القم للمركبات التسع وثلاثون في مخطط (ك غ / م ك) في الشكل (١) . تم تحديد القم لتكون Tricyclo[4.3.1.1(3.8)]undecan-1-amine, 3-Methoxybenzaldehyde semicarbazone, carboxaldehyde , 1-methyl-oxime ,(Z)-(+), 1,5,5-Trimethyl-6-methylene-cyclohexene , 4-(2,5-Dihydro-3-methoxyphenyl)butylamine, Paromomycin , 9-Borabicyclo[3.3.1]nonane , 9-mercaptop-, Benzenemethanol , 2-(2-aminopropoxy)-3-methyl, Acetamide , N-(6-acetylaminobenzothiazol-2-yl)-2-(adamantan, rin-6-carboxylic acid , 4-(2,5-Dihydro-3-methoxyphenyl)butylamine, N-(2,5-Dicyano-3,4-dihydro-2H-pyrrol-2-yl)-acetamide, 3,10-Dioxatricyclo [4.3.1.0(2,4)]dec-7-ene, 3-Cyclohex-3-enyl-propionic acid, Eicosanoic acid ,phenylmethyl ester, 3,7-Diazabicyclo[3.3.1]nonane , 9,9-dimethyl-, Dithiocarbamate , S-methyl-,N-(2-methyl-3-oxobutyl)-, dl-Homocysteine, 2-(2-Furyl)pyridine, 1,7-Dioxa-10-thia-4,13-diazacyclopentadeca-5,9,12-trione, 5,7-Dodecadiyn-1,12-diol, 1-(β -d-Arabinofuranosyl)-4-O-difluoromethyluracil, Uric acid, Pyrrolo[1.2-a]pyrazine-1,4-dione , hexahydro-,12-Methyl-oxa-cyclododecan-2-one, Phthalic acid , butyl undecyl ester, 9,12,15-Octadecatrienoic acid , 2,3-bis(acetyloxy)propyl ester, 1,2,4-Trioxolane-2-octanoic acid 5-octyl-, methyl ester, 12-Dimethylamino-10-oxododecanoic acid , Octahydrochromen-2-one, L-Aspartic acid , N-glycyl-,2H-Oxecin-2-one , 3,4,7,8,91,10-hexahydro-4-hydroxy-10-meth , Thiazolo[4,5-d]pyrimidine-5,7(4H,6H)-dione , 2-amino-4-(2-ph, Dec-9-en-6-oxo-1-ylamide, 3,6,12-Trimethyl-1,4,7,10,13,16-hexaaza-cyclooctadecane, 2-Iodoiiistidine, 2,5-Piperazinedione ,3,6-bis(2-methylpropyl)-, 9-Octadecenamide , (Z)-, 3',8,8'-Trimethoxy-3-piperidyl-2,2'-binaphthalene-1,1',4,4'-tetra .

نتائج الفعالية المضادة لنوافج الايض المستخلصة من البكتيريا على الفطريات لبكتيريا مورغانيلا مورغاني أظهرت أن المركبات المتطايرة كانت اكثر كفاءة لتنشيط نمو Aspergillus terrus . بكتيريا مورغانيلا مورغاني لها القدرة على إنتاج العديد من نوافج الايض الثانوية الهامة ذات الفعالية البيولوجية العالية. ان تنقية هذه المركبات يمكن أن تكون مفيدة، وبناءاً على أهمية هذه النوافج استخدمت في إنتاج العاقير الصيدلانية لعلاج عدد من الامراض.

وسجل اكبر قطر تنشيط لمركبات هذه البكتيريا ضد الفطر Aspergillus terrus (5.613 ± 0.23 mm) جدول (٢)

طريقة الانتشار في الحفر في الاكارات كانت النباتات الطبية المختارة اكتر فعالية ضد بكتيريا Morganella morganii ، جدول (٣) . مستخلص الحنظل Citrullus colocynthis (الخام) كان اكتر فعالية ضد بكتيريا مورغانيلا مورغاني (6.39 ± 0.27 ملم . مورغانيلا مورغاني كانت حساسة لجميع النباتات الطبية المختبرة بالمقارنة مع الفعالية القياسية للمضادات الفطرية أمفوتريسين B وفلوكونازول إلى حد ما . في الآونة الأخيرة ، ثبت أن المركبات العضوية المتطايرة المنتجة بفعل البكتيريا مثل terpenoids , phenylpropanoids , fatty acid derivatives يمكن أن تؤثر على نمو بعض الفطريات.

الاستنتاجات :

لنوافج الايض الثانوي لبكتيريا Morganella morganii تأثير مضاد على بعض البكتيريا والفطريات ، حيث تم تحديد تسعة وثلاثون مكوناً كيميائياً ذو فعالية بيولوجية من المستخلص الميثانولي لمورغانيلا مورغاني بطريقة كروموتوغرافيا الغاز / مطياف الكتلة (ك غ / م ك). تم تقدير الفعالية المضادة للبكتيريا وللفطريات في المختبر لنوافج

الإضافة الثانية لبكتيريا مورغانيلا مورغانى حيث يشكل هذا البحث خطوة أساسية لمزيد من الاختبارات للمركبات النباتية والدوائية لتطوير علاجات جديدة مضادة للميكروبات المحتملة .

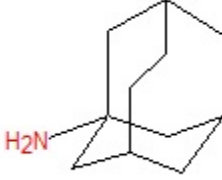
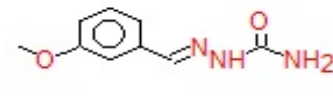
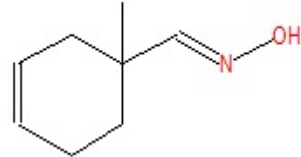
References

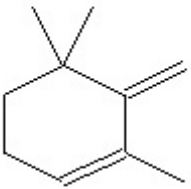
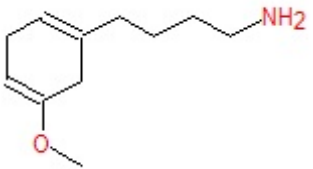
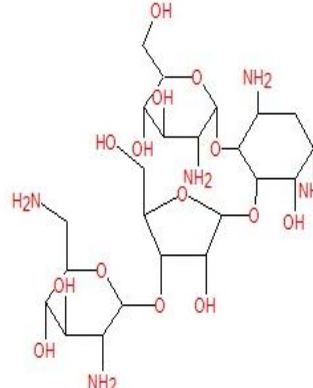
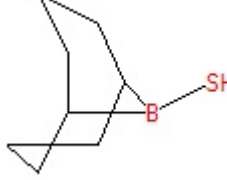
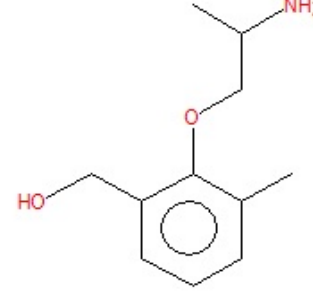
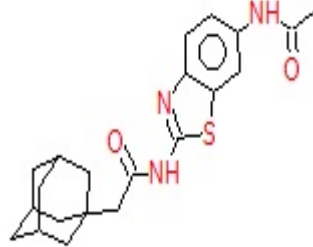
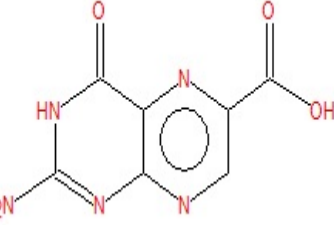
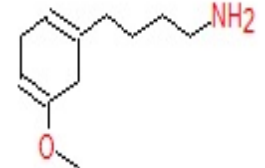
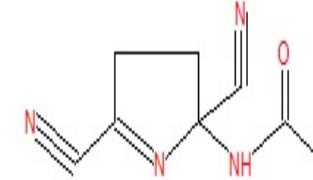
- 1) Acar, J.F., Goldstein, F.W. 1997 . Trends in bacterial resistance to fluoroquinolones. *Clin Infect Dis.*;24 (1):S67-732.
- 2) Arranz-Caso JA, Cuadrado-Gomez LM, Romanik-Cabrera J, Garcia-Tena J. 1996 . Pyomyositis caused by *Morganella morganii* in a patient with AIDS. *Clin Infect Dis*;22:372-373.
- 3) Barnaud G, Arlet G, Danglot C, Philippon A. 1997 . Cloning and sequencing of the gene encoding the AmpC β -lactamase of *Morganella morganii*. *FEMS Microbiol Letters* ;148:15-20.
- 4) Barroso H, Freitas-Vieira A, Duarte A. 1999 . Molecular characterization of a Ceftazidime- Resistant *Morganella morganii* isolate producing a TEM-10 β -lactamase. *Antimicrob Agents Chemother*;43:434-435.
- 5) Bush K, Jacoby GA, Medeiros AA. 1995 . A functional classification scheme for beta-lactamases and its correlation with molecular structure. *Antimicrob Agents Chemother* ; 39:1211- 1233.
- 6) Chou YY, Chiu SK, Lai HC, Chang FY. 2009 . Tubo-ovarian abscess with *Morganella morganii* bacteremia. *J Microbiol Immunol Infect*. 42:357-9.
- 7) Croxatto A, Prod'hom G, Greub G. 2012 . [Applications of MALDI-TOF mass spectrometry in clinical diagnostic microbiology](#) . *FEMS Microbiol Rev.*,36:380-407.
- 8) Custović A, Hadžić S. 2008 . [Epidemiology of bacterial intrahospital infections in newborns](#). *Med Arh*. 62(5-6):294-7.
- 9) del Mar Tavio M, Vila J, Ruiz J, Manuel Martin Sanchez A, Teresa Jimenez de Anta M. 2000 . Decreased permeability and enhanced proton-dependent active efflux in the development of resistance to quinolones in *Morganella morganii*. *Int J Antimicrob Agents*. 14:157- 160.
- 10) Emery CL, Weymouth LA. 1997 . Detection and clinical significance of extended-spectrum β - lactamases in a tertiary-care medical center. *J Clin. Microbiol*.35:2061-2067.
- 11) Emonet S, Shah HN, Cherkaoui A, Schrenzel J. 2010 . [Application and use of various mass spectrometry methods in clinical microbiology](#). *Clin Microbiol Infect*. 16:1604-13.
- 12) Falagas ME, Kavvadia PK, Mantadakis E, Kofteridis DP, Bliziotis IA, Saloustros E, Maraki S, Samonis G . 2006. *Morganella morganii* infections in a General Tertiary Hospital. *Infection*. 34:315-321.

- 13) Fuchs PC, Barry AL, Sewell DL. 1995 . Antibacterial activity of WY- 49605 compared with those of the other oral agents and selection of disk content for disk diffusion and susceptibility testing. *Antimicrob Agents Chemother.*39:1472-1479.
- 14) Gebhart-Mueller Y, Mueller P, Nixon B. 1998 . Unusual case of postoperative infection caused by *Morganella morganii*. *J Foot Ankle Surg.* 37:145-147.
- 15) Haddad J Jr, Inglesby TV Jr, Addonizio L. 1995 . Head and neck infections in pediatric cardiac transplant patients. *Ear Nose Throat J.* 74:422-425.
- 16) Isaacs RD, Ellis-Pegler RB. 1987 . Successful treatment of *Morganella morganii* meningitis with pefloxacinmesylate. *J Antimicrob.Chemother.* 20:769-770.
- 17) Isobe H, Motomura K, Kotou K, Sakai H, Satoh M, Nawata H. Spontaneous bacterial empyema and peritonitis caused by *Morganella morganii*. *J Clin. Gastroenterol* 1994;18:87-88.
- 18) Jean SS, Hsueh PR, Lee WS, Yu KW, Liao CH, Chang FY. 2013 . Carbapenem susceptibilities and non-susceptibility concordance to different carbapenems amongst clinically important Gram-negative bacteria isolated from intensive care units in Taiwan: results from the Surveillance of Multicentre Antimicrobial Resistance in Taiwan (SMART) in 2009. *Int J Antimicrob Agents.* 41:457-62.
- 19) Koyuncu S, Ozan F. 2012 . *Morganella morganii* osteomyelitis complicated by secondary septic knee arthritis: a case report. *Acta Orthop Traumatol Turc.* 46: 464-7.
- 20) Kadhim MJ, Mohammed GJ, Hameed IH. 2016 . In vitro antibacterial, antifungal and phytochemical analysis of methanolic fruit extract of *Cassia fistula*. *Oriental Journal of Chemistry.* 32(2): 10-30.
- 21) Altameme HJ, Hameed IH, Idan SA, Hadi MY. 2015 . Biochemical analysis of *Origanum vulgare* seeds by fourier-transform infrared (FT-IR) spectroscopy and gas chromatography-mass spectrometry (GC-MS). *Journal of Pharmacognosy and Phytotherapy.* 7(9): 221-237.
- 22) Hussein HM. 2016 . Determination of phytochemical composition and ten elements content (CD, CA, CR, CO, FE, PB, MG, MN, NI AND ZN) of cardaria draba by GC-MS, FT-IR and AAS technique. *Int. J Pharm Bio Sci.* 7(3): (B) 1009 –1017.
- 23) Hussein HM. 2016 . Analysis of trace heavy metals and volatile chemical compounds of *Lepidium sativum* using atomic absorption spectroscopy, gas chromatography-mass spectrometric and fourier-transform infrared spectroscopy. *Research Journal of Pharmaceutical, Biological and Chemical Sciences.* 7(4): 2529 – 2555.
- 24) Hameed IH. 2016 . A new polymorphic positions discovered in mitochondrial DNA hypervariable region HVIII from central and north-central of Iraq. *Mitochondrial DNA.* 27(5): 3250-4.
- 25) Sosa AA, Bagi SH, Hameed IH. 2016 . Analysis of bioactive chemical compounds of *Euphorbia lathyrus* using gas chromatography-mass spectrometry and fourier-transform infrared spectroscopy. *International Journal of Pharmacognosy and Phytochemical Research.* 8(5): 109-126.

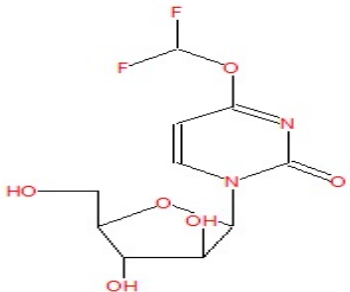
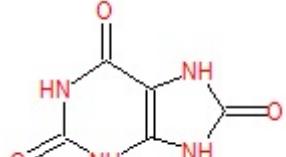
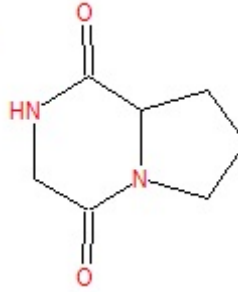
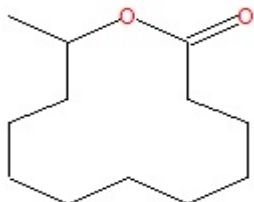
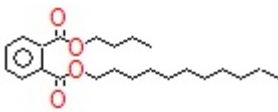
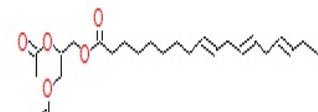
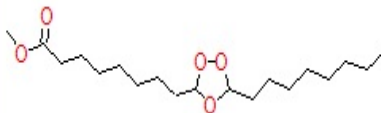
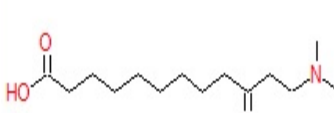
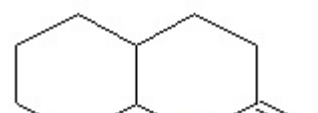
- 26) Altameme HJ, Hadi MY, Hameed IH. 2015 . Phytochemical analysis of *Urtica dioica* leaves by fourier-transform infrared spectroscopy and gas chromatography-mass spectrometry. *Journal of Pharmacognosy and Phytotherapy*. 7(10): 238-252.
- 27) Mohammed GJ, Omran AM, Hussein HM. 2016 . Antibacterial and Phytochemical Analysis of *Piper nigrum* using Gas Chromatography-Mass Spectrum and Fourier-Transform Infrared Spectroscopy. *International Journal of Pharmacognosy and Phytochemical Research*. 8(6): 977-996.
- 28) Hamza LF, Kamal SA, Hameed IH. 2015 . Determination of metabolites products by *Penicillium expansum* and evaluating antimicrobial activity. *Journal of Pharmacognosy and Phytotherapy*. 7(9): 194-220.
- 29) Jasim H, Hussein AO, Hameed IH, Kareem MA. 2015 . Characterization of alkaloid constitution and evaluation of antimicrobial activity of *Solanum nigrum* using gas chromatography mass spectrometry (GC-MS). *Journal of Pharmacognosy and Phytotherapy*. 7(4): 56-72.
- 30) Hadi MY, Mohammed GJ, Hameed IH. 2016 . Analysis of bioactive chemical compounds of *Nigella sativa* using gas chromatography-mass spectrometry. *Journal of Pharmacognosy and Phytotherapy*. 8(2): 8-24.
- 31) Hameed IH, Ibraheam IA, Kadhim HJ. 2015 . Gas chromatography mass spectrum and fourier-transform infrared spectroscopy analysis of methanolic extract of *Rosmarinus officinalis* leaves. *Journal of Pharmacognosy and Phytotherapy*. 7 (6): 90-106.
- 32) Shareef HK, Muhammed HJ, Hussein HM, Hameed IH. 2016 . Antibacterial effect of ginger (*Zingiber officinale*) roscoe and bioactive chemical analysis using gas chromatography mass spectrum. *Oriental Journal of Chemistry*. 32(2): 20-40.

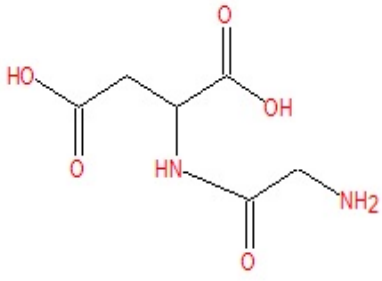
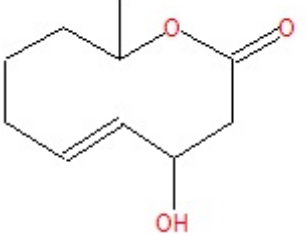
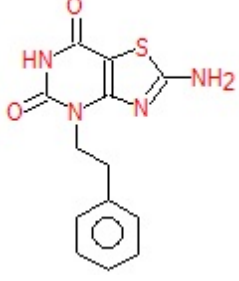
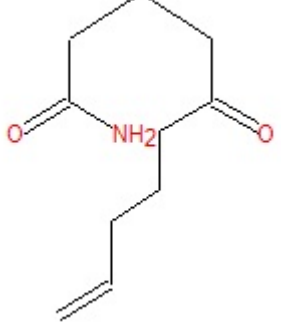
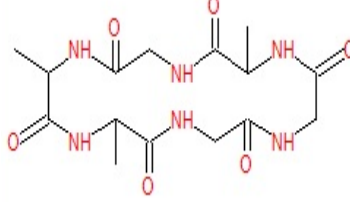
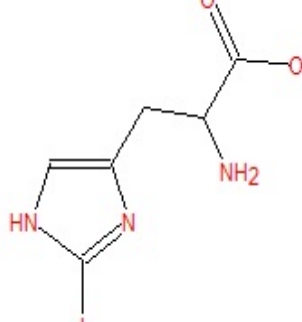
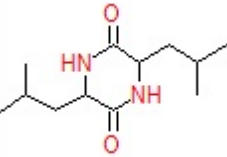
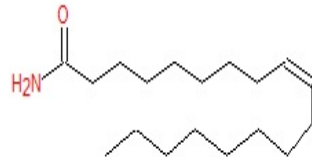
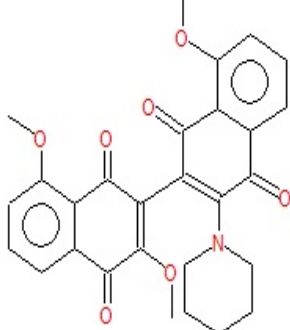
جدول (١) : تحديد المركبات الكيميائية الحيوية لبكتيريا *Morganella morganii* عن طريق الاستخلاص الكحولي بالكحول الميثيلي (الميثانول).

 Tricyclo[4.3.1.1(3.8)]undeca n-1-amine RT = 3.150 Mw =165.15175 Pharmacological activity: anti-viral activity	 3-Methoxybenzaldehyde semicarbazone RT =3.396 Mw =193.085127 Pharmacological activity: anti-malarial, anticancer, antibacterial, antifungal	 carboxaldehyde , 1- methyl-,oxime ,(Z)-(+) RT =3.613 Mw =139.099714 Pharmacological activity: antimicrobial activity
--	--	---

 <p>1,5,5-Trimethyl-6-methylene-cyclohexene RT=3.996 Mw=136.1252 Pharmacological activity: antioxidant, anti-inflammatory, antimicrobial</p>	 <p>4-(2,5-Dihydro-3-methoxyphenyl)butylamine RT=4.191 Mw=181.146665 Pharmacological activity: antifungal, antibacterial, anti-inflammatory, anti-oxidant</p>	 <p>Paromomycin RT=4.489 Mw=615.296303 Pharmacological activity: Antimicrobial activity</p>
 <p>9-Borabicyclo[3.3.1]nonane , 9-mercaptopo- RT=4.654 Mw=154.098752 Pharmacological activity: anti-fungal activity</p>	 <p>Benzenemethanol , 2-(2-aminopropoxy)-3-methyl RT=4.878 Mw=195.125929 Pharmacological activity: antifungal, antibacterial, anti-inflammatory</p>	 <p>Acetamide , N-(6-acetylaminobenzothiazol-2-yl)-2-(adamantan RT=4.986 Mw=281 383.166748 Pharmacological activity: antiarthritic, anti-inflammatory</p>
 <p>Pterin-6-carboxylic acid RT=5.759 Mw=207.039239</p>	 <p>4-(2,5-Dihydro-3-methoxyphenyl)butylamine RT=5.776 Mw=181.146665 Pharmacological</p>	 <p>N-(2,5-Dicyano-3,4-dihydro-2H-pyrrol-2-yl)-acetamide RT=5.799 Mw=176.069811 Pharmacological</p>

Pharmacological activity: Anti-cancer, anti-viral, anti-HIV, anti- protozoal	activity: anti-oxidant	activity: anti-fungal <i>activity</i>
<p>3,10-Dioxatricyclo[4.3.1.0(2,4)]deca-7-ene RT=5.822 Mw=138.06808 Pharmacological activity: anti-inflammatory, analgesic and antipyretic</p>	<p>3-Cyclohex-3-enyl-propionic acid RT=5.845 Mw=154.09938 Pharmacological activity: anti-fungal activity</p>	<p>Eicosanoic acid, phenylmethyl ester RT=6.348 Mw=402.349781 Pharmacological activity: anti-bacterial activity</p>
<p>3,7-Diazabicyclo[3.3.1]nonane , 9,9-dimethyl- RT=6.566 Mw=154.146998 Pharmacological activity: antiarrhythmic activity</p>	<p>Dithiocarbamate , S-methyl-,N-(2-methyl-3-oxobutyl)- RT=6.817 Mw=191.043856 Pharmacological activity: anti-bacterial activity</p>	<p>dl-Homocysteine RT=7.813 Mw=135.035399 Pharmacological activity: Anti-tumor Activity</p>
<p>2-(2-Furyl)pyridine RT=7.933 Mw=145.052764 Pharmacological activity: anti-inflammatory, anthelminthic,</p>	<p>1,7-Dioxa-10-thia-4,13-diazacyclopentadeca-5,9,12-trione RT=9.003 Mw=276.077993 Pharmacological activity: Unknown</p>	<p>5,7-Dodecadiyn-1,12-diol RT=9.438 Mw=194.13068 Pharmacological activity: anti-fungal activity</p>

 <p>1-(β-D-Arabinofuranosyl)-4-O-difluoromethyluracil RT=12.528 Mw=294.066343 Pharmacological activity: anti-viral or anti-cancer activity</p>	 <p>Uric acid RT=12.814 Mw=168.02834 Pharmacological activity: anti-gout activity</p>	 <p>Pyrrolo[1,2-a]pyrazine-1,4-dione , hexahydro RT=13.295 Mw=154.074227 Pharmacological activity: antioxidant activity</p>
 <p>12-Methyl-oxa-cyclododecan-2-one RT=14.033 Mw=198.16198 Pharmacological activity: Antibacterial Activity</p>	 <p>Phthalic acid , butyl undecyl ester RT=14.067 Mw=376.26136 Pharmacological activity: antitumoral</p>	 <p>9,12,15-Octadecatrienoic acid , 2,3-bis(acetoxy)propyl ester RT=14.245 Mw=436.28249 Pharmacological activity: anti-microbial and anti – inflammation</p>
 <p>1,2,4-Trioxolane-2-octanoic acid 5-octyl-, methyl ester RT=14.565 Mw=344.256275 Pharmacological activity: anti-bacterial activity</p>	 <p>12-Dimethylamino-10-oxododecanoic acid RT=14.948 Mw=257.199093 Pharmacological activity: anti-fungal activity</p>	 <p>Octahydrochromen-2-one RT=15.343 Mw=154.09938 Pharmacological activity: antiviral, fungicidal, antiprotozoal and antiplatelet activities</p>

 <p>L-Aspartic acid , N-glycyl- RT=15.452 Mw=190.058971 Pharmacological activity: anti-cancer</p>	 <p>2H-Oxecin-2-one, 3,4,7,8,9,10-hexahydro- 4-hydroxy-10-meth RT=15.532 Mw=184.109944 Pharmacological activity: Antibacterial activity, Antifungal activity</p>	 <p>Thiazolo[4,5-d]pyrimidine-5,7(4H,6H)-dione , 2-amino-4-(2-ph RT=15.921 Mw=288.068096</p>
 <p>Dec-9-en-6-oxo-1-ylamide RT=16.087 Mw=183.125929 Pharmacological activity: antistaphylococcal activity</p>	 <p>3,6,12-Trimethyl-1,4,7,10,13,16-hexaaza-cyclooctadecane RT=16.465 Mw=384.175732 Pharmacological activity: Unknown</p>	 <p>2-Iodoimididine RT=16.682 Mw=280.966125 Pharmacological activity: anti-cancer activity</p>
 <p>2,5-Piperazinedione bis(2-methylpropyl)- RT=17.477 Mw=226.168128 Pharmacological activity: anti-fungal activity</p>	 <p>9-Octadecenamide , (Z)- RT=17.907 Mw=281.271864 Pharmacological activity: Anti-microbial</p>	 <p>3',8,8'-Trimethoxy-3-piperidyl-2,2'-binaphthalene-1,1',4,4'-tetra RT=20.018</p>

		Mw=487.163101 Pharmacological activity: Unknown
--	--	--

جدول (٢) : الفعالية التضادية للفطريات لنوافذ الايض الثانوية لبكتيريا

Morganella morganii

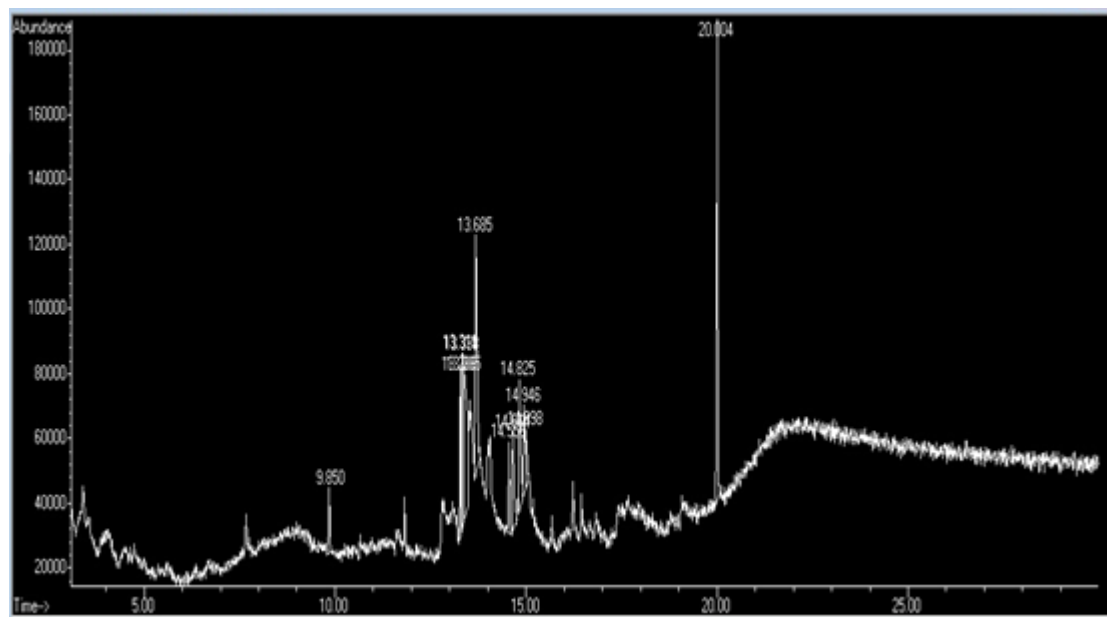
Fungi	<i>Morganella morganii</i> metabolite products / Antibiotics			
	<i>Morganella morganii</i> metabolite products	Amphotericin B	Fluconazol	Miconazole nitrate
<i>Microsporum canis</i>	2.681±0.17 ^a	1.004±0.03	3.601±0.17	2.972±0.16
<i>Candida albicans</i>	4.551±0.21	4.703±0.20	2.852.±0.15	2.200±0.14
<i>Saccharomyces cerevisiae</i>	4.100±0.20	1.869±0.13	2.041±0.12	2.991±0.17
<i>Penicillium expansum</i>	3.862±0.18	3.008±0.19	2.991±0.15	2.100±0.11
<i>Trichoderma viride</i>	4.751±0.22	2.751±0.15	1.006±0.04	3.121±0.19
<i>Trichoderma horzianum</i>	3.900±0.19	1.100±0.03	2.588±0.14	2.914±0.15
<i>Aspergillus terreus</i>	5.613±0.23	3.000±0.18	2.971±0.16	3.014±0.19

ا : القيم المدرجة (للمكررات الثلاثة) هي اقطار مناطق التثبيط بتركيز ١٠٠ ملغم / مل من المستخلص الخام ، و ٣٠ مل من الامفوتريسين B ، فلوكونازول ، ميكونازول نيتريت .

جدول (٣) : مناطق التثبيط (ملم) للمركبات الحيوية لعدد من النباتات الطبية ضد بكتيريا

Morganella morganii

S. No.	Plant	Zone of inhibition (mm)
2.	<i>Nerium oleander</i> (Alkaloids)	4.03±0.21
5.	<i>Linum usitatissimum</i> (Crude)	4.92±0.23
6.	<i>Anastatica hierochuntica</i> (Crude)	6.00±0.25
7.	<i>Cassia angustifolia</i> (Crude)	5.05±0.24
8.	<i>Euphorbia lathyrus</i> (Crude)	5.40±0.25
9.	<i>Rosmarinus officinalis</i> (Crude)	4.91±0.22
10.	<i>Mentha viridis</i> (Crude)	5.60±0.24
11.	<i>Quercus infectoria</i> (Crude)	5.00±0.22
12.	<i>Citrullus colocynthis</i> (Crude)	6.39±0.27
13.	<i>Althaea rosea</i> (Crude)	4.07±0.20
14.	<i>Coriandrum sativum</i> (Crude)	5.08±0.23
18.	<i>Ocimum basilicum</i> (Crude)	4.05±0.22
19.	<i>Punica granatum</i> (Crude)	5.00±0.22
22.	Control	0.00



شكل (١) : مخطط الـ (GC-MS) للمستخلص الكحولي (المثيلي) لبكتيريا *Morganella morganii*